分布型流出モデルを用いた深層崩壊と地中水貯留高・地形に関する考察

徳島大学大学院 学生会員 ○長谷川諒 徳島大学大学院 正会員 田村隆雄 徳島大学大学院 正会員 武藤裕則

1. 研究の背景・目的: 我が国の山地流域は急傾斜であり、台風によって引き起こされる豪雨により、斜面崩壊が発生する. 過去に、徳島県の那賀川流域での1976年の深層崩壊を対象に、タンクモデルを組み込んだ分布型流出モデルを用いた斜面内の水分量と斜面崩壊の関係性についての考察が行われ、深層崩壊が発生した斜面の周辺の最大貯留高は大きく、その内訳においては地下水が多く含まれていたほか、崩壊発生には40mm/hr未満の降雨が1日以上継続して降り続いたことが関係していると考えられたり. ここで本研究では、分布型流出モデルを、2011年台風12号の豪雨によって、崩壊幅約130m、崩壊長約550m、崩壊深約20m、流出土砂量約12万m³の規模の崩壊が発生した和歌山県の富田川流域に適用し、分布型流出モデルを用いた深層崩壊の考察が他流域でもできるかを検討し、深層崩壊の発生の評価において、何が有効であるかを考察する.

2. 解析対象流域および使用モデル: 解析対象流域は、和歌山県にある二級河川・富田川の市ノ瀬流量観測所を末端とする流域(流域面積: $169.4 \mathrm{km}^2$)である. 使用するモデルは、遮断蒸発モデル、地表面流分離直列 2 段タンクモデル、修正 Muskingum-Cunge 法からなる分布型流出モデルを用いる. 解析を行うにあたって、図 1 に示すように流域を 32 個のサブ流域に分ける. 斜面内の水分量の算出方法としては、表層タンクおよび地下水タンクの貯留高の量を用いる. このタンクモデルでは、表層タンク上部の貯留高を S_s 、表層タンク下部の貯留高を $(1-C_f)h_1$ 、地下水貯留高を S_{Gmax} S_{Gmix} とする. タンクモデルにおける貯留高の位置を図 2 に示す. S_s の最大値は D/2 と同じ値となる. また、表層タンクの水は浸透係数 λ_G および λ_J を通っ



図1 対象流域分割図

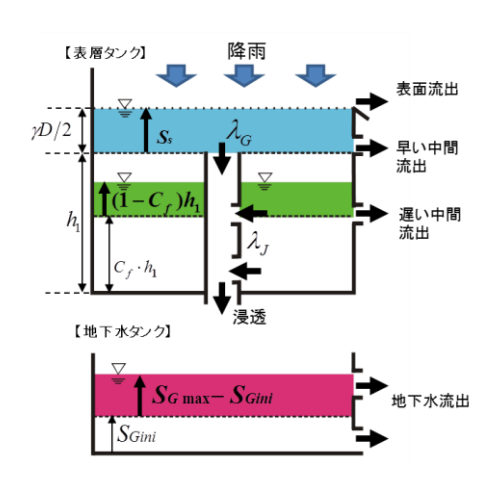


図 2 タンクモデルにおける地中水 貯留高の位置

て地下水タンクに浸透する.地中水貯留高の最大値 S_{max} を以下のように定義する.

$$S_{\text{max}} = \gamma D/2 + (1 - C_f)h_1 + (S_{Gmax} - S_{Gini})$$
 (1)

3. 地中水の鉛直・水平分布と深層崩壊との関連性:図3に、対象流域の全サブ流域の S_{max} を示す。崩壊はサブ流域番号 27番の斜面で発生した。27番の内訳について見てみると、 S_{Gmax} $-S_{Gini}$ の量が多く、地中水貯留高中に占める割合が全体の 50%を超えている。27番周辺のサブ流域について見てみると、25番と 26番は S_{max} が 27番より大きく、 S_{Gmax} $-S_{Gini}$ が 27番より小さいことから、貯留高全体に占める地下水の割合が小さいことがわかる。28~30番は 27番と同じく地下水貯留高の占める割合が 50%を超えているが、 S_{max} の値も大きい。以上のことより、富田川流域においては、深層崩壊発生斜面を含むサブ流域は、最大地中水貯留高は小さかったが、地下水の割合が大きいということが示される。このことから、深層崩壊が発生した斜面の特徴として考えられる要素としては、最大地中水貯留高の量よりも地中水全体における地下水の比率であ

キーワード:深層崩壊,分布型流出モデル,地中水貯留高,斜面長,斜面勾配,降雨強度

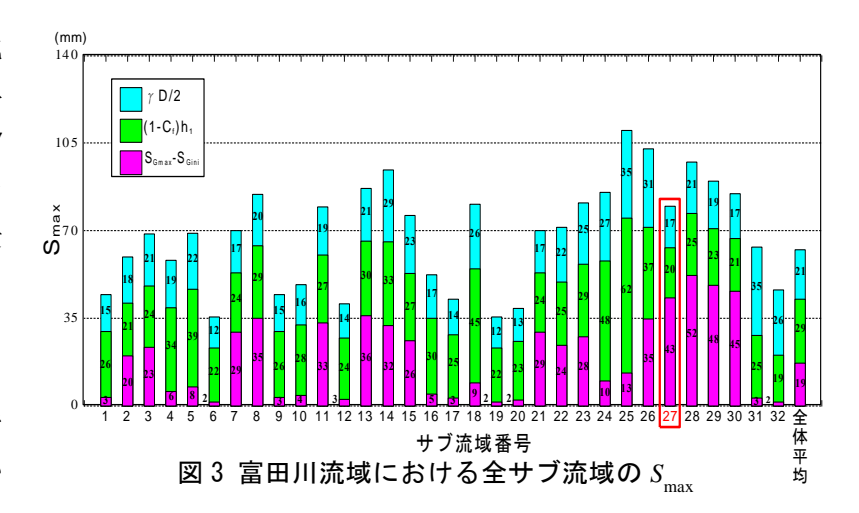
連絡先: 〒770-8506 徳島県徳島市南常三島町 2-1 徳島大学大学院ソシオテクノサイエンス研究部 TEL088-656-9407

る、ということが考えられる. 得られた地 下水量のデータと, サブ流域の斜面長と斜 面勾配の散布図を図4に示す. サブ流域27 番の斜面長および斜面勾配は大きい傾向を 示しており、特に斜面勾配においては、最 大地下水貯留高が 40mm 以上を記録した サブ流域中では一番大きい.このことから, サブ流域 27 番は地下水を多く含んでいた ことに加え,長く急な勾配を有する斜面で あったことがわかる. 1, 17, 19番につい ては、斜面長と斜面勾配の値が27番より 大きかったが, 地下水貯留高の値が小さい 結果となった. これは、表層タンクから地 下水タンクにつながる浸透係数んおよび λ , が 27 番より小さく、結果地下水タンク に水が貯まらず表面流および中間流として 流出したと考える.

4. 地中水及び降雨の時間変化と深層崩壊:

次に、深層崩壊が発生するまでに、地中水 貯留高や降雨がどのように変化し、崩壊発 生に関わったかを調べる。図5に、サブ流 域27番の2011年9月2日~5日における 降雨と地中水貯留高の経時変化を示す。崩

壊発生時刻は 9 月 4 日の午前 7 時頃である。降雨について見てみると,最初の 2 日間は 20mm/hr 以下の弱い雨が降り続き,崩壊発生の 10 時間前から 30mm/hr 程度の雨が多く降った。地中水貯留高について見ていくと,表層水,地下水共に崩壊発生時刻までは増加の傾向を示しており,崩壊発生の 1 時間前に最大値である S_{max} に到達している。このことから,地下水貯留高がピークに達している時に 30mmの時間雨量の雨が降ったことによって,崩壊が発生したということが考えられる。



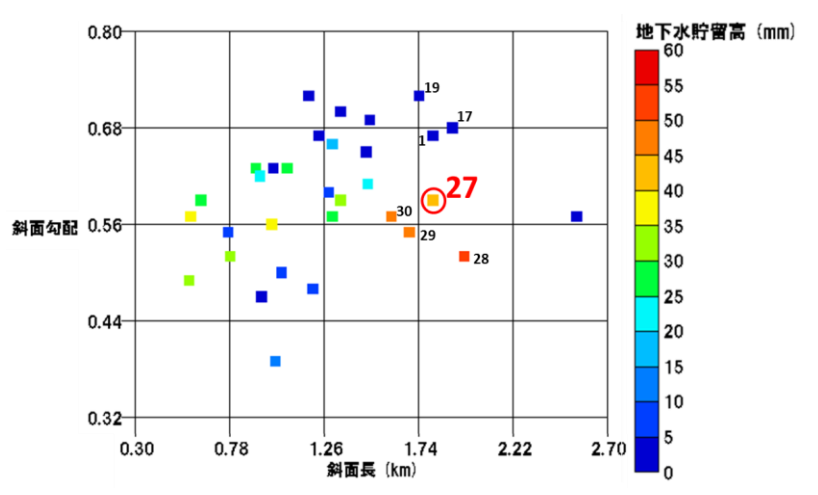


図 4 サブ流域の地下水貯留高と地形データの散布図

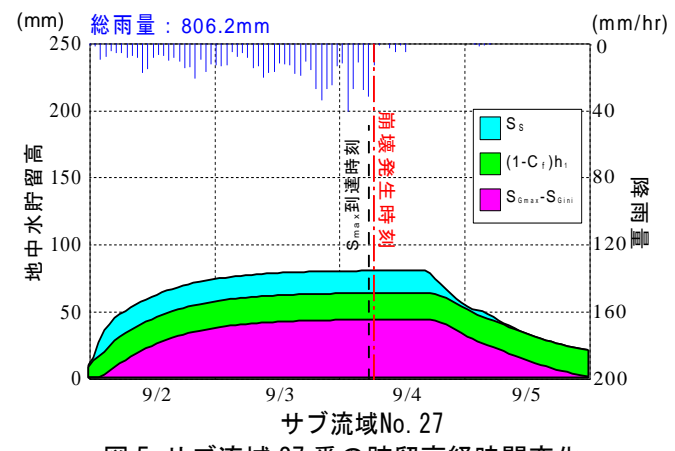


図 5 サブ流域 27 番の貯留高経時間変化

5. まとめ: 今回の解析で、分布型流出モデルを用いた斜面崩壊評価手法が他流域にも適用できることを確認できたほか、深層崩壊の発生の評価において三つの面からの知見が得られた。まず地中水の鉛直・水平分布の面においては、地中水量の大きさよりも、貯留高全体における地下水貯留高の割合に着目することが有効である。さらに、サブ流域の地形やモデルパラメータも崩壊発生評価に使用できるということが見出された。崩壊時刻においては、地中水貯留高の増加に加え、降雨量の変化にも着目することが重要である。今後は、大規模な崩壊が多数発生した一級河川にも適用していくとともに、これらの情報を基にしたハザードマップの作成にもつなげていきたいと考えている。

参考文献 1) 田村隆雄, 能田慎也, 武藤裕則:分布型流出モデルを用いた那賀川上流における森林斜面の貯水高と斜面崩壊に関する考察, 水工学論文集, 第56巻, pp.469-474, 2012